

视觉SLAM从图优化到深度学习优化的发展

王永才

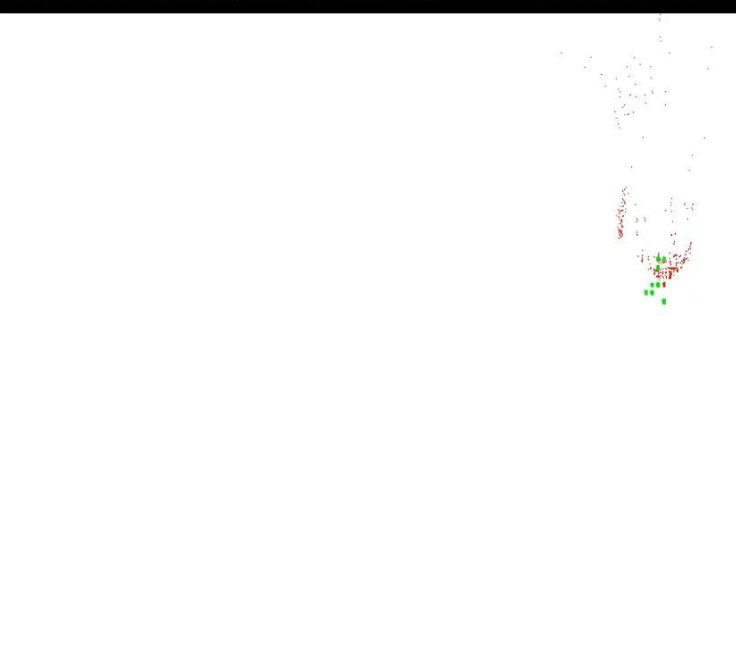
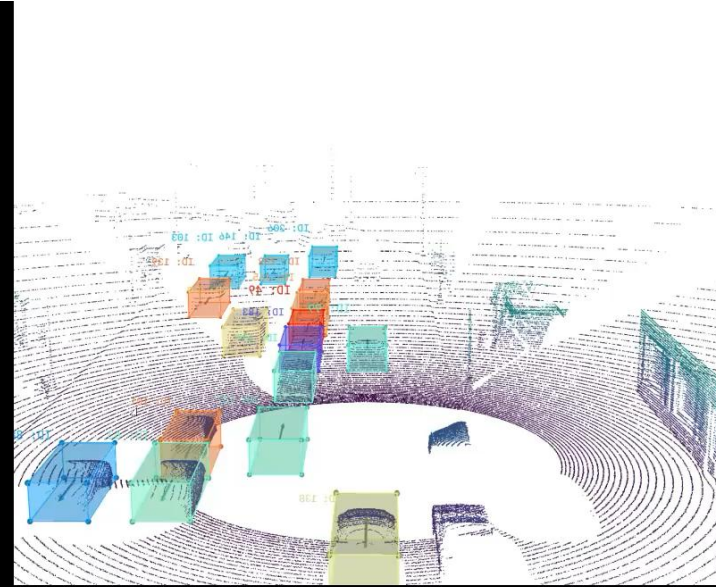
中国人民大学 信息学院 计算机系

ycw@ruc.edu.cn

内容提要

- 视觉里程计 (Visual Odometry) 问题简介
- 传统的基于特征匹配和图优化的视觉里程计
- 近两年快速发展的 深度学习视觉里程计

视觉VO、视觉SLAM问题简介



输入：连续采集的图像帧

输出：相机位姿轨迹
(Locating)、重建环境的
3D点云地图(Mapping)。

应用：无图自动驾驶，机
器人领域

视觉SLAM主要进展

1. 基于传统视觉算法提取手工特征，通过图优化进行位姿优化计算：ORB-SLAM, VINS-Mono等

2012至今
速度快、准确性好
在退化环境不鲁棒

2. 基于深度学习提取特征，通过图优化进行位姿优化计算：CNN-SLAM, LIFT-SLAM, LightSLAM等

2017至今
提升特征提取的鲁棒性，但速度慢

3. 直接端到端的深度学习SLAM：DeepVO, UnDeepVO等。

2017至今
效果一直不好

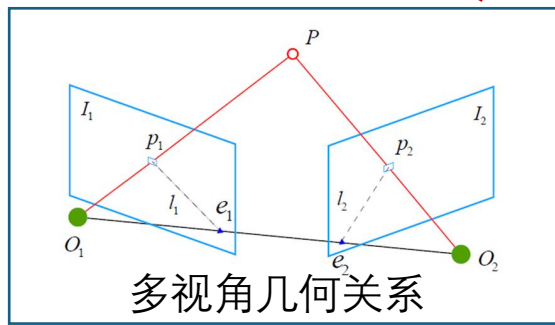
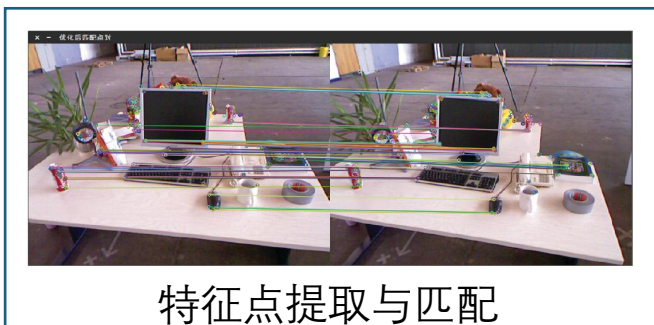
4. 帧间图像匹配网络与位姿网络嵌套优化：TartanVO, DPVO, V2V等。

2021至今
2024年终于超越了手工特征提取方法

传统手工特征图优化模型

传统手工特征图优化SLAM

- 相邻帧提取图像特征点，通过特征点匹配、计算相邻帧的相对位姿变换。
- 利用一个滑窗内相邻帧之间的相对位姿测量，构建一个位姿图优化问题。
- 求解位姿图优化问题，得到最符合测量关系的所有帧的最佳位姿优化结果。
- 代表性工作如ORB系列，VINS系列等。



$$\mathbf{X}^* = \arg \min_{\mathbf{X}} \sum_{(i,j) \in \mathcal{E}} \|\hat{\mathbf{Z}}_{ij} \cdot (\mathbf{X}_i^{-1} \mathbf{X}_j)\|$$

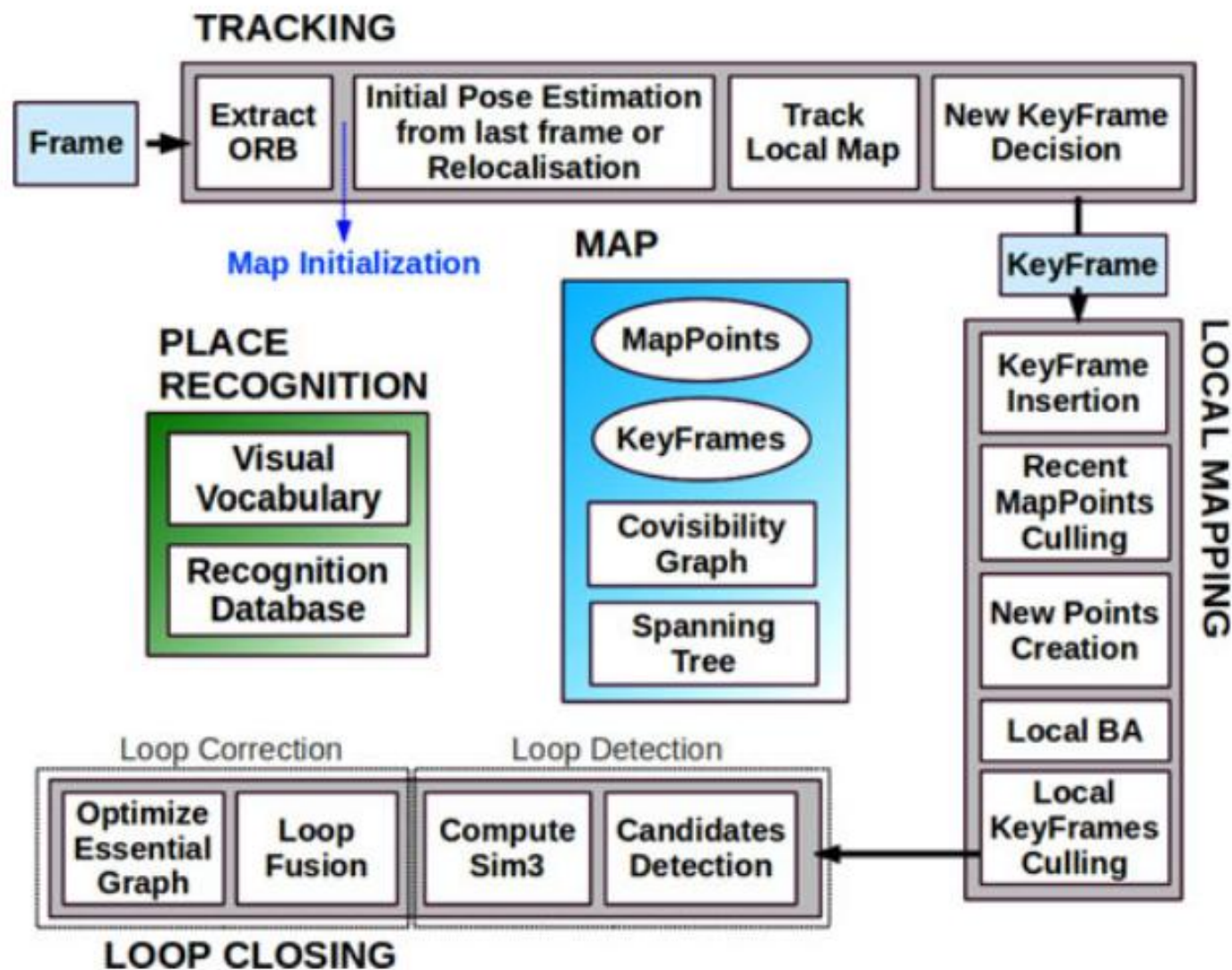
帧间相对位姿测量
i帧位姿
j帧位姿

总体的优化目标函数

相机相邻帧之间，以及相机到环境特征点间的距离和角度测量关系

相邻帧之间的相对位姿测量计算 $\hat{\mathbf{Z}}_{ij}$

传统手工特征图优化SLAM系统



图优化SLAM代表性工作ORB-SLAM

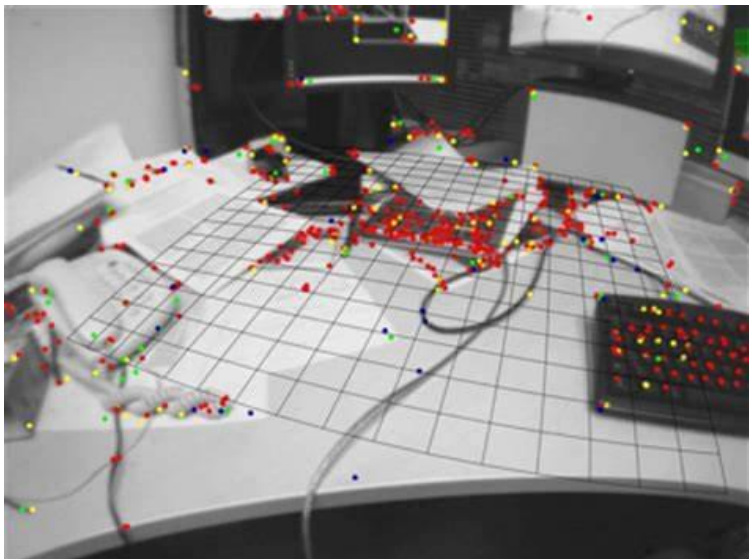
跟踪线程：提取特征点、帧间特征点匹配、相邻帧位姿变换计算

局部建图：提取关键帧、局部图优化建立局部位姿图

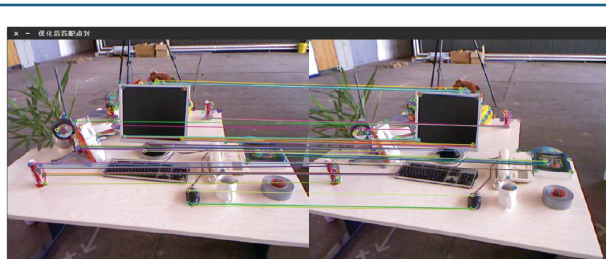
闭环检测：检测回环、进行全景地图位姿优化

位姿图优化问题

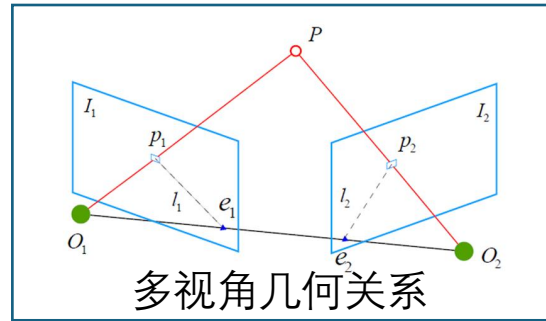
以视觉感知为例



基于多类型传感器建立Pose Graph

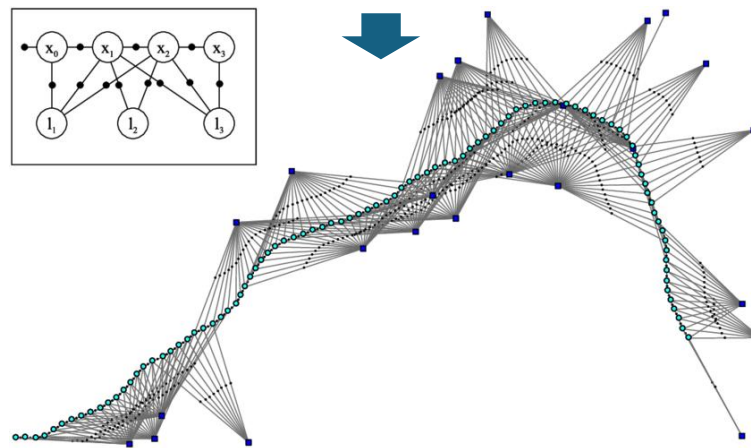


特征点提取与匹配



多视角几何关系

相机相邻帧之间，以及相机到环境特征点间的距离和角度测量关系



Pose Graph

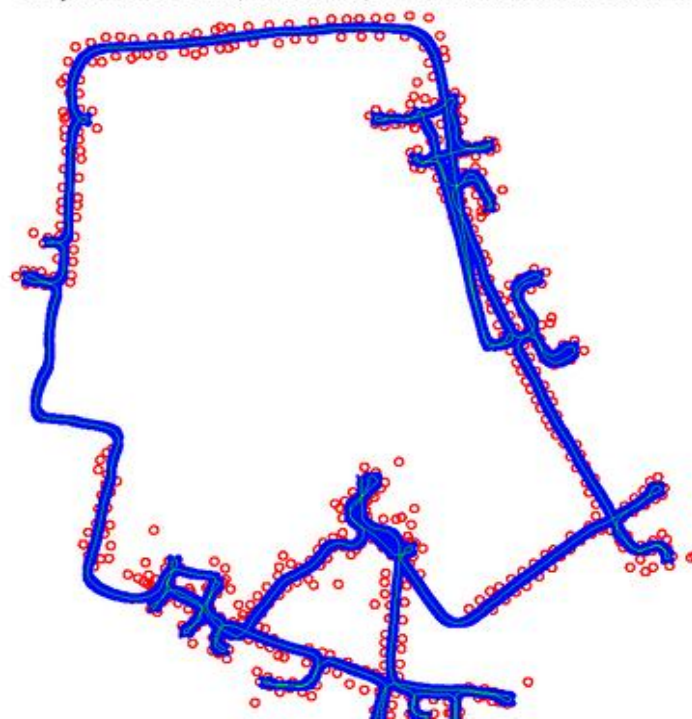
我们近几年研究的图优化算法与工具集, (1)GPART, (2)EMI, (3)InferLoc, (4)HGO
TON2018 CCF A, TMC2020 CCF A, JSAC2018 CCF A, TON 2023 CCF A, TOSN2023 CCF B, TON2023 CCF
A, TOSN2023 CCF B

位姿图优化求解

位姿图优化的求解方法：高斯牛顿法

```
while ¬converged do
   $\mathbf{b} \leftarrow \mathbf{0}$     $\mathbf{H} \leftarrow \mathbf{0}$ 
  for all  $\langle \mathbf{e}_{ij}, \Omega_{ij} \rangle \in \mathcal{C}$  do
    // Compute the Jacobians  $\mathbf{A}_{ij}$  and  $\mathbf{B}_{ij}$  of the error
    function 只求一阶导数, 近似牛顿法
     $\mathbf{A}_{ij} \leftarrow \left. \frac{\partial \mathbf{e}_{ij}(\mathbf{x})}{\partial \mathbf{x}_i} \right|_{\mathbf{x}=\check{\mathbf{x}}}$     $\mathbf{B}_{ij} \leftarrow \left. \frac{\partial \mathbf{e}_{ij}(\mathbf{x})}{\partial \mathbf{x}_j} \right|_{\mathbf{x}=\check{\mathbf{x}}}$ 
    // compute the contribution of this constraint to the
    linear system
     $\mathbf{H}_{[ii]} += \mathbf{A}_{ij}^T \Omega_{ij} \mathbf{A}_{ij}$     $\mathbf{H}_{[ij]} += \mathbf{A}_{ij}^T \Omega_{ij} \mathbf{B}_{ij}$ 
     $\mathbf{H}_{[ji]} += \mathbf{B}_{ij}^T \Omega_{ij} \mathbf{A}_{ij}$     $\mathbf{H}_{[jj]} += \mathbf{B}_{ij}^T \Omega_{ij} \mathbf{B}_{ij}$ 
    // compute the coefficient vector
     $\mathbf{b}_{[i]} += \mathbf{A}_{ij}^T \Omega_{ij} \mathbf{e}_{ij}$     $\mathbf{b}_{[j]} += \mathbf{B}_{ij}^T \Omega_{ij} \mathbf{e}_{ij}$ 
  end for
  // keep the first node fixed
   $\mathbf{H}_{[11]} += \mathbf{I}$ 
  // solve the linear system using sparse Cholesky factor-
  ization 用cholesky分解快速求逆
   $\Delta \mathbf{x} \leftarrow \text{solve}(\mathbf{H} \Delta \mathbf{x} = -\mathbf{b})$ 
  // update the parameters
   $\check{\mathbf{x}} += \Delta \mathbf{x}$ 
end while
```

Graph-based SLAM, iteration 0, initial error: 369655335.5705



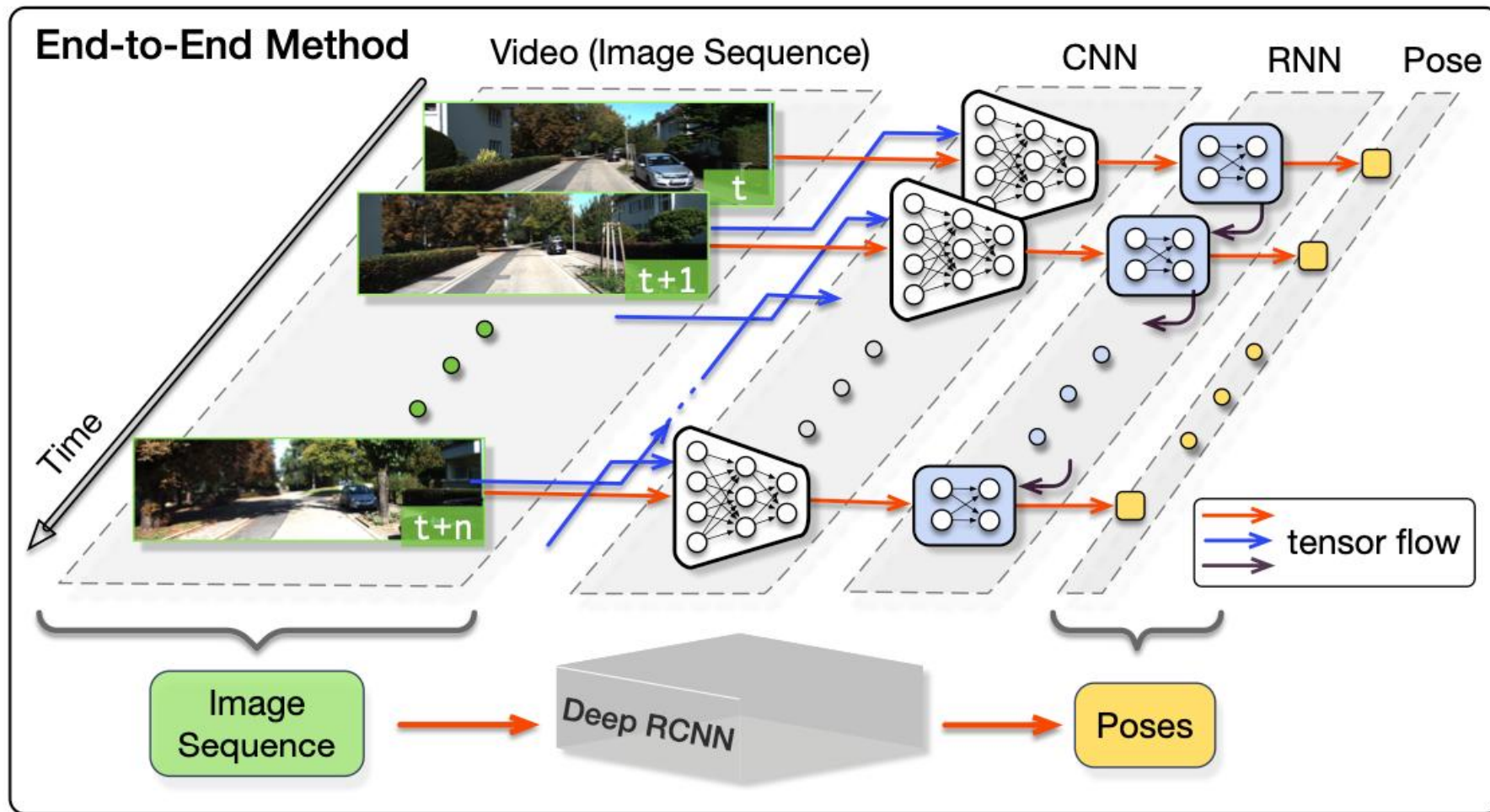
高斯牛顿求解图优化的算法

基于图优化 SLAM的代表 性方法的性能

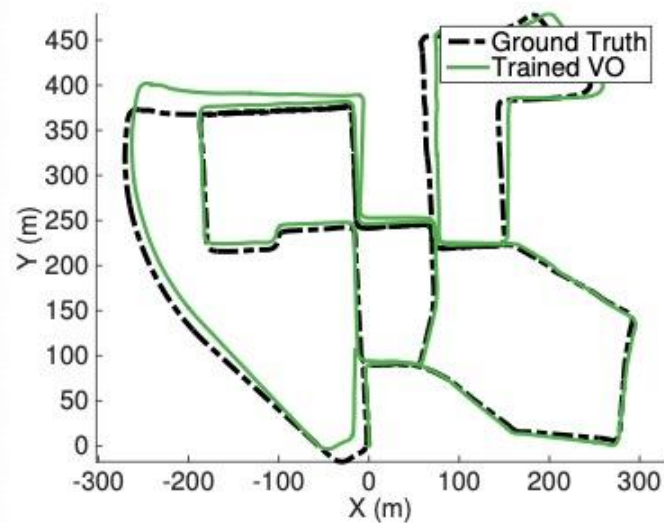
Absolute KeyFrame Trajectory RMSE (cm)				
	ORB-SLAM	PTAM	LSD-SLAM	RGBD- SLAM
fr1_xyz	0.90	1.15	9.00	1.34 (1.34)
fr2_xyz	0.30	0.20	2.15	2.61 (1.42)
fr1_floor	2.99	X	38.07	3.51 (3.51)
fr1_desk	1.69	X	10.65	2.58 (2.52)
fr2_360_kidnap	3.81	2.63	X	393.3 (100.5)
fr2_desk	0.88	X	4.57	9.50 (3.94)
fr3_long_office	3.45	X	38.53	–
fr3_nstr_tex_far	ambiguity detected	4.92 / 34.74	18.31	–
fr3_nstr_tex_near	1.39	2.74	7.54	–
fr3_str_tex_far	0.77	0.93	7.95	–
fr3_str_tex_near	1.58	1.04	X	–
fr2_desk_person	0.63	X	31.73	6.97 (2.00)
fr3_sit_xyz	0.79	0.83	7.73	–
fr3_sit_halfsph	1.34	X	5.87	–
fr3_walk_xyz	1.24	X	12.44	–
fr3_walk_halfsph	1.74	X	X	–

深度学习视觉SLAM

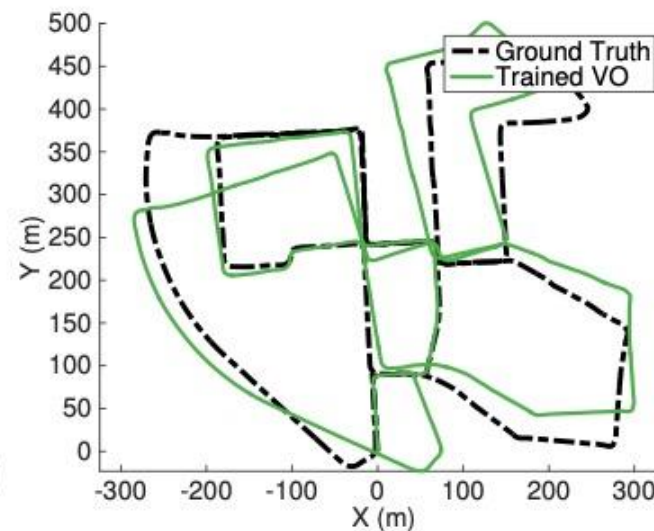
- DeepVO (ICRA2017) 第一个提出了基于深度递归卷积神经网络的端到端视觉里程计方法。



- 但是深度神经网络直接回归位姿的方法，效果并不好，远差于图优化SLAM方法

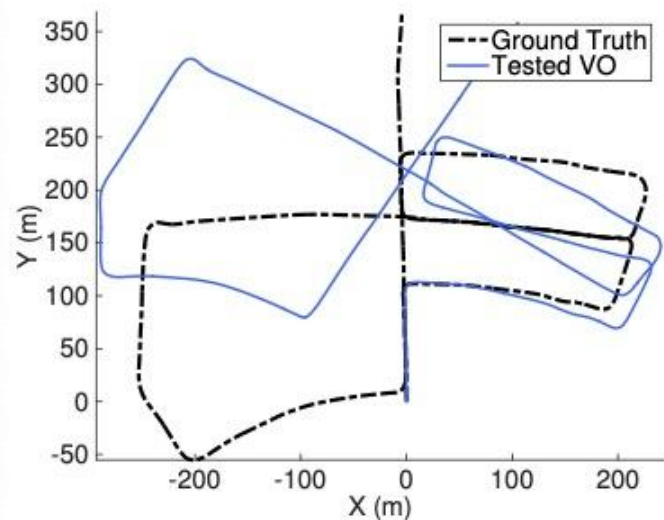


(c) Trained VO: Overfitting.

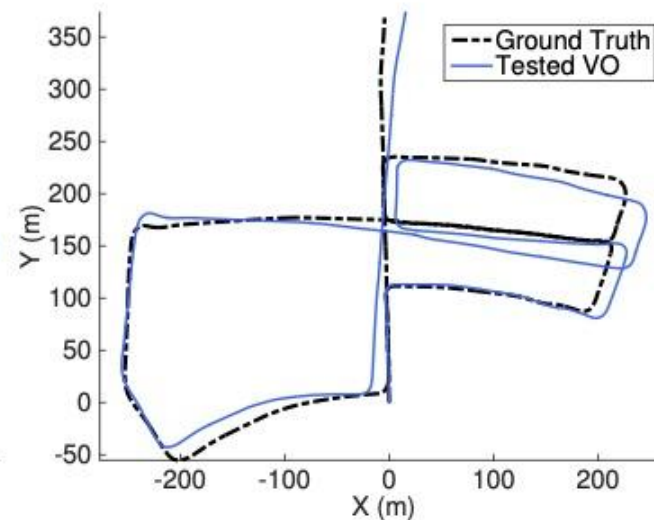


(d) Trained VO: Good Fit.

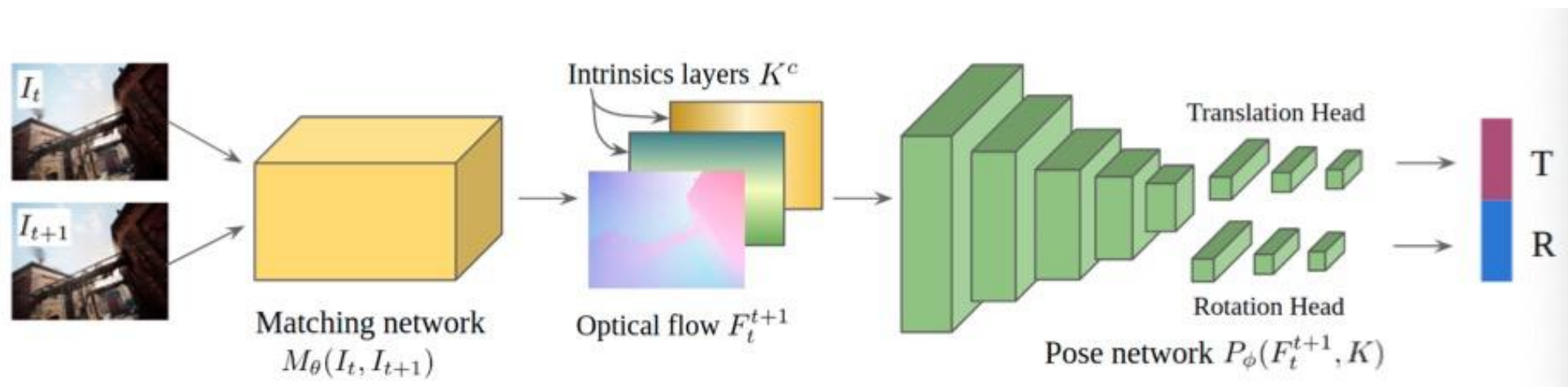
- 而且后续的各种尝试性能都没有超越传统图优化方法，直到2021年。



(e) Tested VO: Overfitting.



(f) Tested VO: Good Fit.



TartanVO 提出了一个两阶段的网络架构。

- 该模型包括一个匹配网络，用于从连续的两帧 RGB 图像估计光流
- 接着是一个姿态网络，通过光流预测相机运动。
- TartanVO还做了图像增强，增加模型泛化性的工作

TartanVO效果

	Seq.	MH-04	MH-05	VR1-02	VR1-03	VR2-02	VR2-03
Geometry-based *	SVO [46]	1.36	0.51	0.47	x	0.47	x
	ORB-SLAM [3]	0.20	0.19	x	x	0.07	x
	DSO [5]	0.25	0.11	0.11	0.93	0.13	1.16
	LSD-SLAM [2]	2.13	0.85	1.11	x	x	x
Learning-based †	TartanVO (ours)	0.74	0.68	0.45	0.64	0.67	1.04

* These results are from [46]. † Other learning-based methods [36] did not report numerical results.

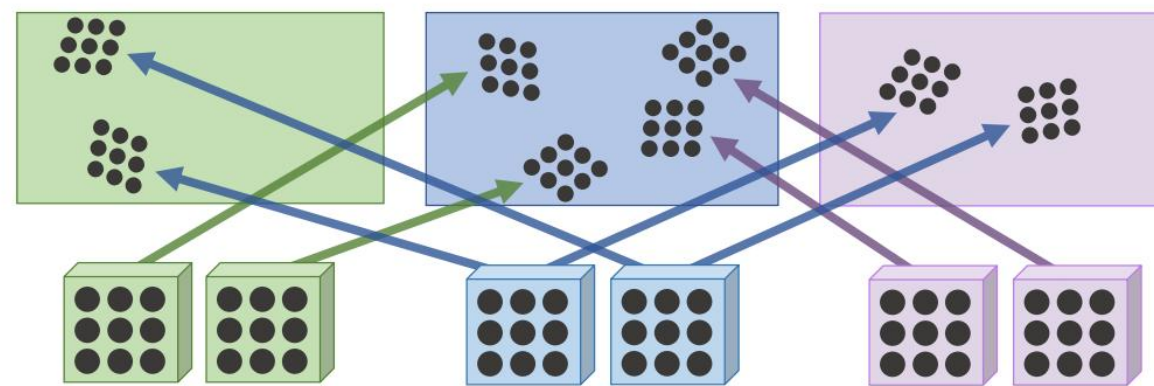
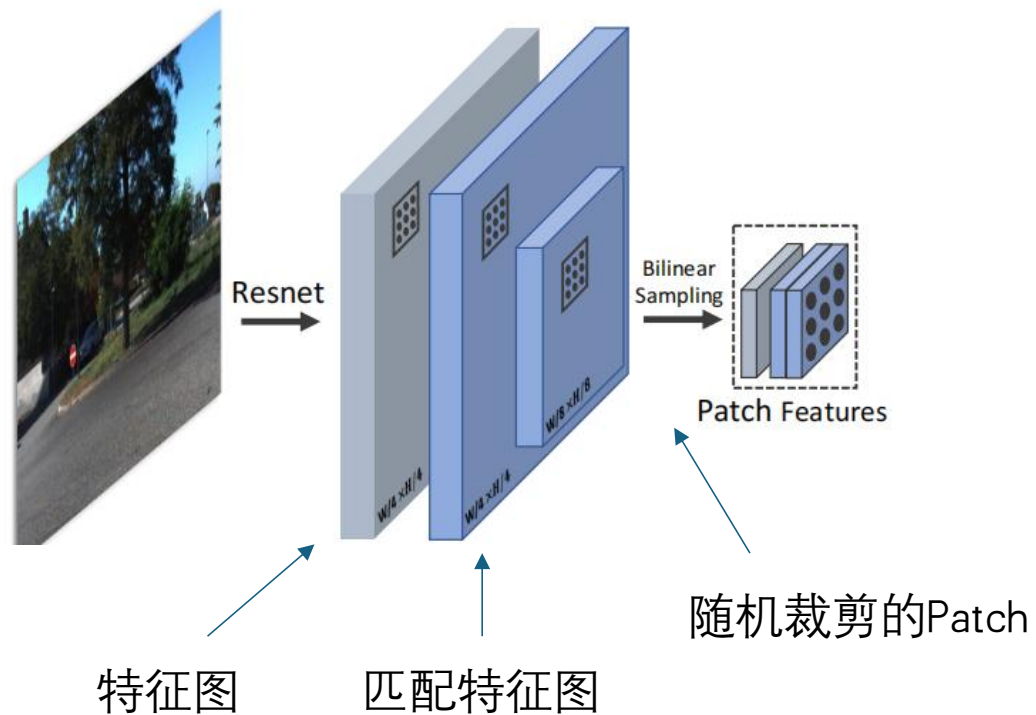
在容易的轨迹上效果不如ORB-SLAM，但能完成ORB-SLAM不能完成的轨迹

Table 4: Comparison of ATE on TartanAir dataset. These trajectories are not contained in the training set. We repeatedly run ORB-SLAM 5 times and report the best result.

Seq	MH000	MH001	MH002	MH003	MH004	MH005	MH006	MH007
ORB-SLAM [3]	1.3	0.04	2.37	2.45	x	x	21.47	2.73
TartanVO (ours)	4.88	0.26	2	0.94	1.07	3.19	1	2.04

在难度大的轨迹上，效果好于ORB-SLAM

DPVO : Neurips2024

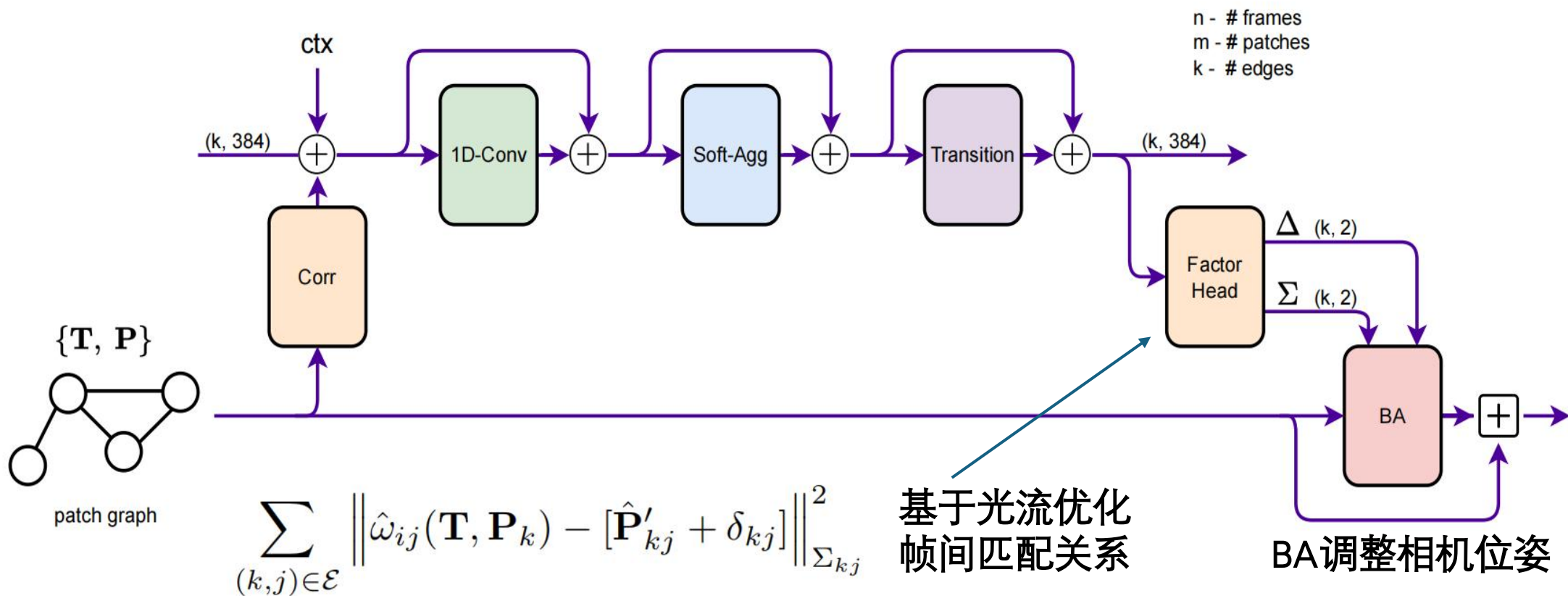


基于匹配的Patch的帧间共视关系图

DPVO: Neurips2024

DPVO的核心是一个嵌套的深度神经网络，这是一个循环神经网络

- 首先优化patch之间的光流匹配，建立相机位姿优化的帧间匹配约束
- 再优化每一帧相机姿态和每个图像块深度，求解相机位姿序列，完成建图



DPVO: Neurips2024

位姿监督信号:

$$\mathcal{L}_{pose} = \sum_{(i,j) \ i \neq j} \| \text{Log}_{SE(3)} [(\mathbf{G}_i^{-1} \mathbf{G}_j)^{-1} (\mathbf{T}_i^{-1} \mathbf{T}_j)] \|$$

其中 \mathbf{G} 是位姿真值, \mathbf{T} 是预测的位姿序列

光流匹配监督:

$$\mathcal{L}_{flow} = \sum_{j,k} \| \mathbf{p}_{jk}^* - \hat{\mathbf{p}}_{jk} \|_2$$

基于光流一致性的自监督误差函数

总体监督信号:

$$\mathcal{L} = 10\mathcal{L}_{pose} + 0.1\mathcal{L}_{flow}.$$

DPVO

	360	desk	desk2	floor	plant	room	rpy	teddy	xyz	Avg
ORB-SLAM3 [27]	x	0.017	0.210	x	0.034	x	x	x	0.009	-
DSO [12]	0.173	0.567	0.916	0.080	0.121	0.379	0.058	x	0.036	-
DSO-Realtime [12]	0.172	0.718	0.728	0.068	0.167	0.767	x	x	0.031	-
DROID-VO [37]	0.161	0.028	0.099	0.033	0.028	0.327	0.028	0.169	0.013	0.098
Ours (Default)	0.135	0.038	0.048	0.040	0.036	0.394	0.034	0.064	0.012	0.089
Ours (Fast)	0.169	0.029	0.064	0.047	0.047	0.396	0.034	0.074	0.012	0.097

TUM-RGBD

	MH01	MH02	MH03	MH04	MH05	V101	V102	V103	V201	V202	V203	Avg
TartanVO [43]	0.639	0.325	0.550	1.153	1.021	0.447	0.389	0.622	0.433	0.749	1.152	0.680
SVO [15]	0.100	0.120	0.410	0.430	0.300	0.070	0.210	-	0.110	0.110	1.080	0.294
DSO [12]	0.046	0.046	0.172	3.810	0.110	0.089	0.107	0.903	0.044	0.132	1.152	0.601
DROID-VO [37]	0.163	0.121	0.242	0.399	0.270	0.103	0.165	0.158	0.102	0.115	0.204	0.186
Ours (Default)	0.087	0.055	0.158	0.137	0.114	0.050	0.140	0.086	0.057	0.049	0.211	0.105
Ours (Fast)	0.101	0.067	0.177	0.181	0.123	0.053	0.158	0.095	0.095	0.063	0.310	0.129

EUROC

DPVO: Neurips2024

训练细节：在一台单独的 RTX-3090 GPU 上进行总共 240k 次迭代的训练，批次大小为 1。训练过程持续了 3.5 天。

仿真数据集上训练的模型在各类实际数据集上进行测试。

From Variance to Veracity (V2V): Unbundling and Mitigating Gradient Variance in Differentiable Bundle Adjustment

Adjustment Layers

CVPR2024

1. 用光流匹配输出的权重对光流loss的计算进行加权

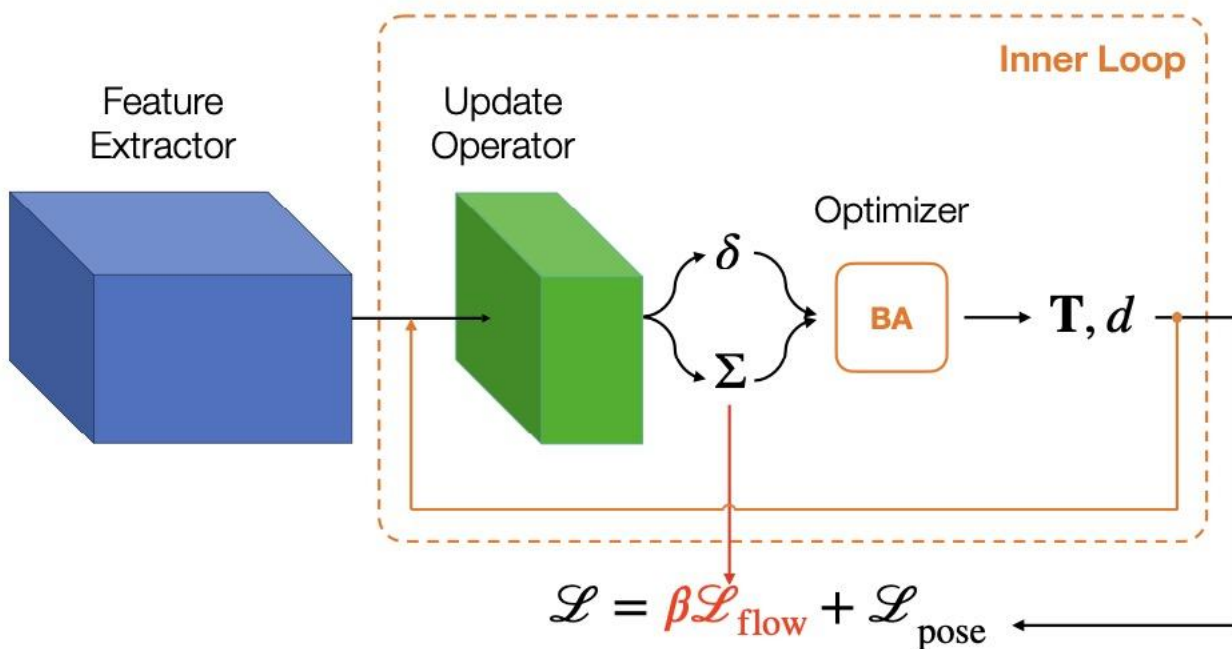
$$\mathcal{L}_{\text{flow}} = \sum_{j,k} \|\mathbf{p}_{jk}^* - \hat{\mathbf{p}}_{jk}\|_{\Sigma_{jk}^\perp}$$

提高可信的匹配的影响力

2. 自适应的loss比值函数

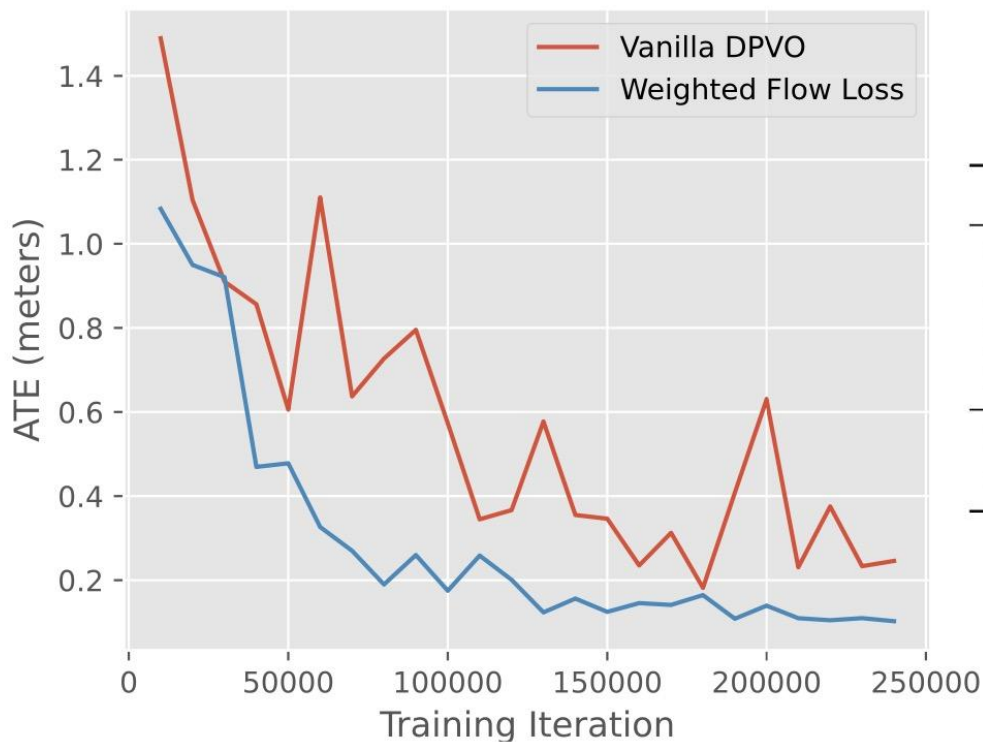
$$\beta = \frac{\|\nabla_{\theta} \mathcal{L}_{\text{pose}}\|_2}{\|\nabla_{\theta} \mathcal{L}_{\text{flow}}\|_2} \quad \mathcal{L} = \mathcal{L}_{\text{pose}} + \beta \mathcal{L}_{\text{flow}}$$

自动平衡两种loss的影响



- 深入分析了嵌套式的深度优化网络收敛慢的原因
- 主要原因来自于异常匹配数据带来的梯度方差不稳定

From Variance to Veracity: Unbundling and Mitigating Gradient Variance in Differentiable Bundle Adjustment Lavers, CVPR2024

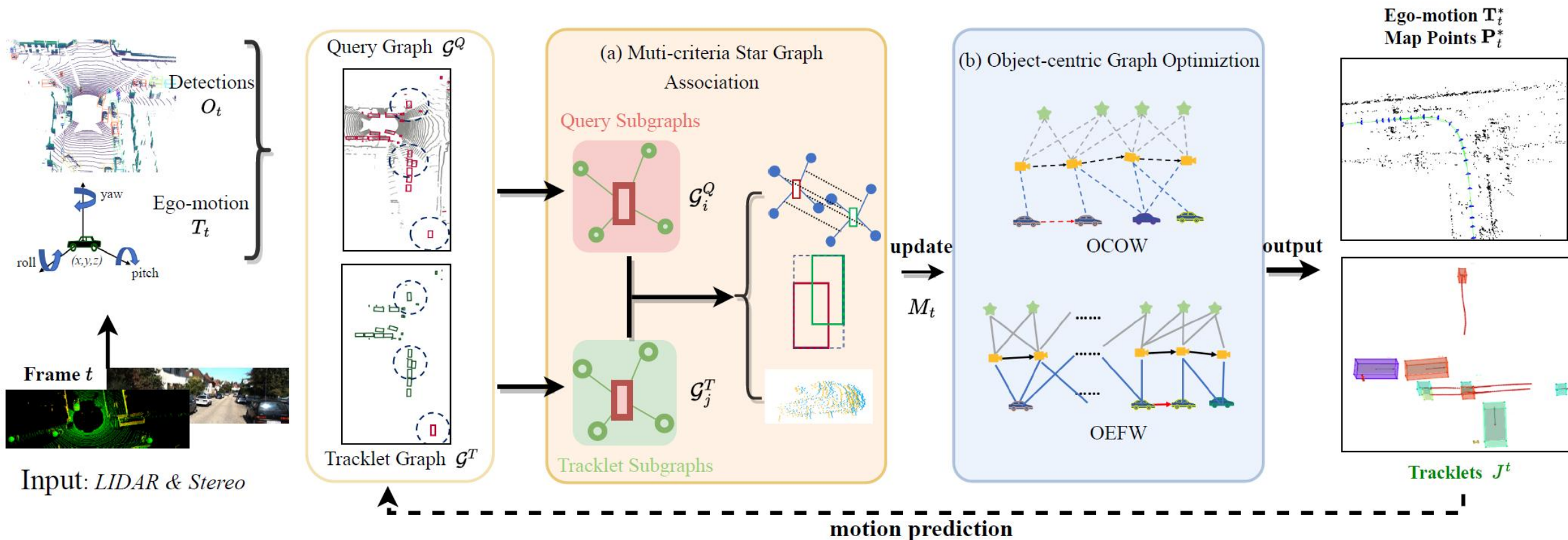


	360	desk	desk2	floor	plant	room	rpy	teddy	xyz	Avg
ORB-SLAM3 [14]	x	0.017	0.210	x	0.034	x	x	x	0.009	-
DSO [24]	0.173	0.567	0.916	0.080	0.121	0.379	0.058	x	0.036	-
DSO-Realtime [24]	0.172	0.718	0.728	0.068	0.167	0.767	x	x	0.031	-
DROID-VO [54]	0.161	0.028	0.099	0.033	0.028	0.327	0.028	0.169	0.013	0.098
DPVO	0.135	0.038	0.048	0.040	0.036	0.394	0.034	0.064	0.012	0.089
Ours	0.145	0.026	0.044	0.064	0.031	0.434	0.045	0.046	0.012	0.094

准确性同DPVO不相上下

收敛速度提高3倍
一天多可训练完

我们的工作：图优化SLAM方面，同步定位建图与目标追踪



输入

目标检测

当前帧查询历史目标轨迹图

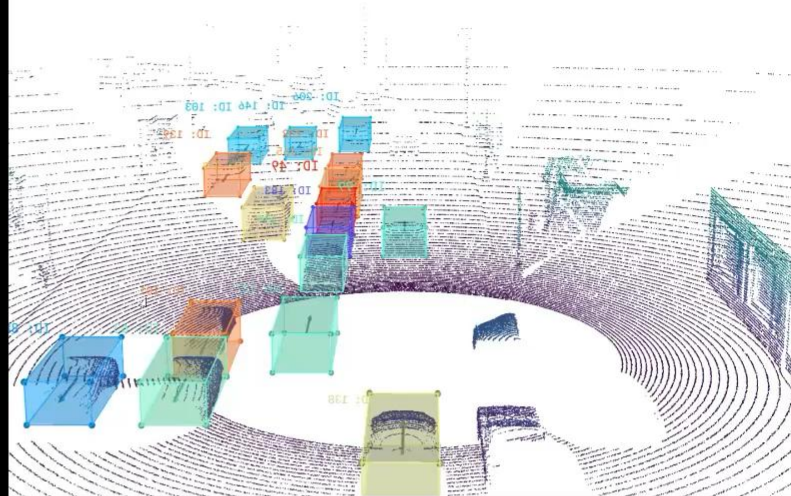
自身轨迹、建图、
多目标跟踪结果

GSLAMOT: A Tracklet and Query Graph-based Simultaneous Locating, Mapping, and Multiple Object Tracking System, Shuo Wang, Yongcai Wang et al., [ACM Multimedia 2024, CCF A](#)

录像展示

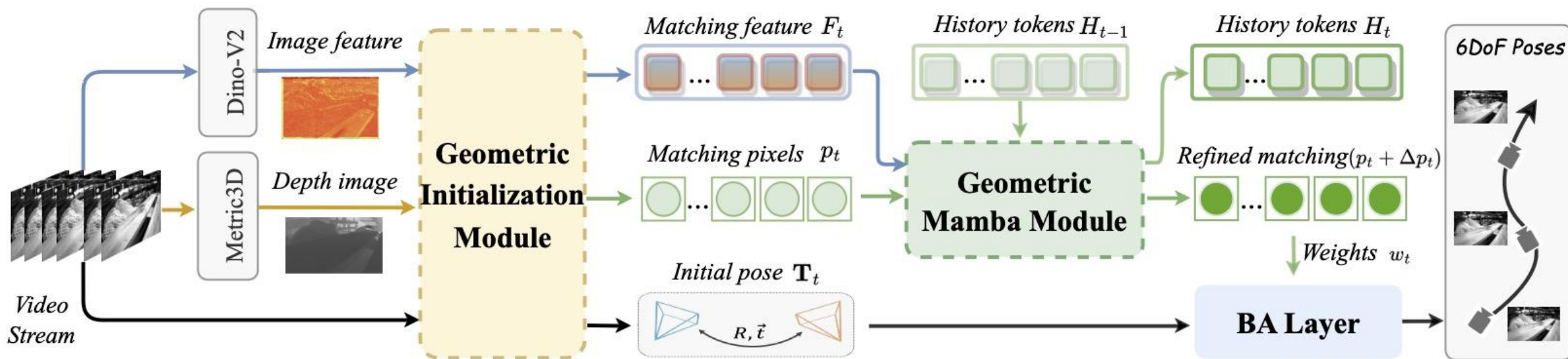
Speed X 10

多目标追踪效果，
不同颜色代表追踪
的不同目标。



- Green box: tracklet
- Red point: local map
- Black point: map point

我们的工作：深度学习SLAM, MambaVO



Method	AUC@1°↑	AUC@2°↑	AUC@5°↑	AUC@10°↑
DROID-VO[48]	0.123	0.167	0.294	0.53
DPVO[50]	0.299	0.485	0.738	0.925
V2V[21]	<u>0.399</u>	<u>0.584</u>	<u>0.855</u>	<u>0.957</u>
MambaVO (Ours)	0.471	0.678	0.892	0.975

在匹配方面准确性有显著提升

我们的工作: MambaVO

平均准确性

	Method	MH000	MH001	MH002	MH003	MH004	MH005	MH006	MH007	AVG
w. loop	ORB_SLAM3[3]	15.44	2.92	13.51	8.18	2.59	21.91	11.7	25.88	14.38
	COLMAP[43]	12.26	13.45	13.45	20.95	24.97	16.79	7.01	7.97	12.5
	DeFlowSLAM[57]	0.63	0.06	0.02	0.01	2.8	0.2	0.31	0.45	0.56
	DROID-SLAM[48]	0.08	<u>0.05</u>	<u>0.04</u>	<u>0.02</u>	0.01	0.68	0.3	<u>0.07</u>	0.33
	DPV-SLAM[33]	0.23	<u>0.05</u>	<u>0.04</u>	<u>0.04</u>	0.54	<u>0.15</u>	<u>0.07</u>	<u>0.14</u>	<u>0.16</u>
	MambaVO++(Ours)	<u>0.12</u>	0.04	0.02	<u>0.02</u>	<u>0.37</u>	0.14	0.05	0.05	0.10
w.o. loop	TartanVO[54]	4.88	0.26	2	0.94	1.07	3.19	1	2.04	1.92
	DROID-VO[48]	0.32	0.13	0.08	0.09	1.52	0.69	0.39	0.97	0.58
	DPVO[50]	<u>0.21</u>	0.04	<u>0.04</u>	<u>0.08</u>	<u>0.58</u>	0.17	<u>0.11</u>	<u>0.15</u>	<u>0.17</u>
	V2V[21]	0.18	<u>0.03</u>	0.03	0.02	<u>0.58</u>	0.3	0.08	0.05	0.18
	MambaVO (Ours)	0.24	0.02	0.03	0.02	0.46	<u>0.18</u>	0.13	0.05	0.14

整体准确性上好于DPVO, V2V等现有最好方法, 投稿至CVPR2025

总结

- 2024年深度学习SLAM终于从准确性上超越了图优化SLAM
- 泛化性、挑战性环境的普遍适用性是它的优势。
- 但速度上还是它的最大劣势，但似乎已经找到了一个合适的框架。
- 现有的降低嵌套优化梯度方差的手段都还很简单和初步。
- 如何继续提升深度学习SLAM还是很有挑战的问题。

谢谢, Q&A

ycw@ruc.edu.cn

18910215881

<http://www.yongcaiwan.cn>